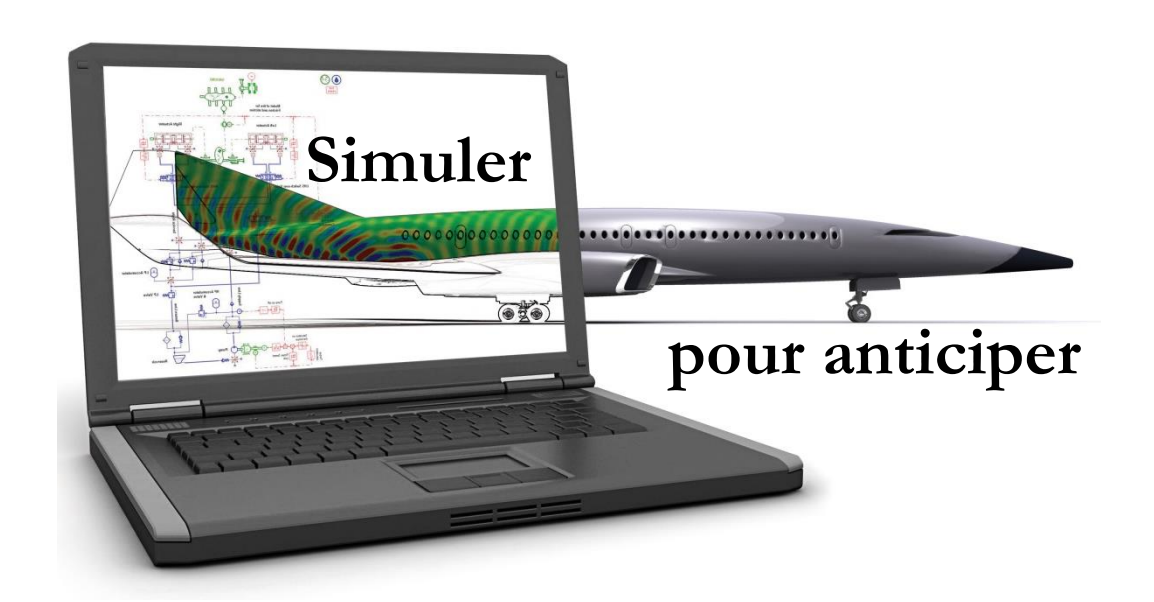
STATIQUE

La statique est l'étude de l'équilibre des systèmes matériels non déformables au repos.

Extraits du référentiel :

Compétence visée	Savoir-faire associé		
Proposer un modèle de connaissance et de comportement	 Associer un modèle à une action mécanique Déterminer la relation entre le modèle local et le modèle global Associer à chaque liaison son torseur d'actions mécaniques transmissibles 		
Procéder à la mise en oeuvre d'une démarche de résolution analytique	 Proposer une méthode permettant la détermination d'une inconnue de liaison ou le calcul complet des inconnues de liaison Choisir une méthode pour déterminer la valeur des paramètres conduisant à des positions d'équilibre (par exemple arc-boutement) 		



Sciences Industrielles de l'Ingénieur 1ére année de CPGE Lycée Claude Fauriel

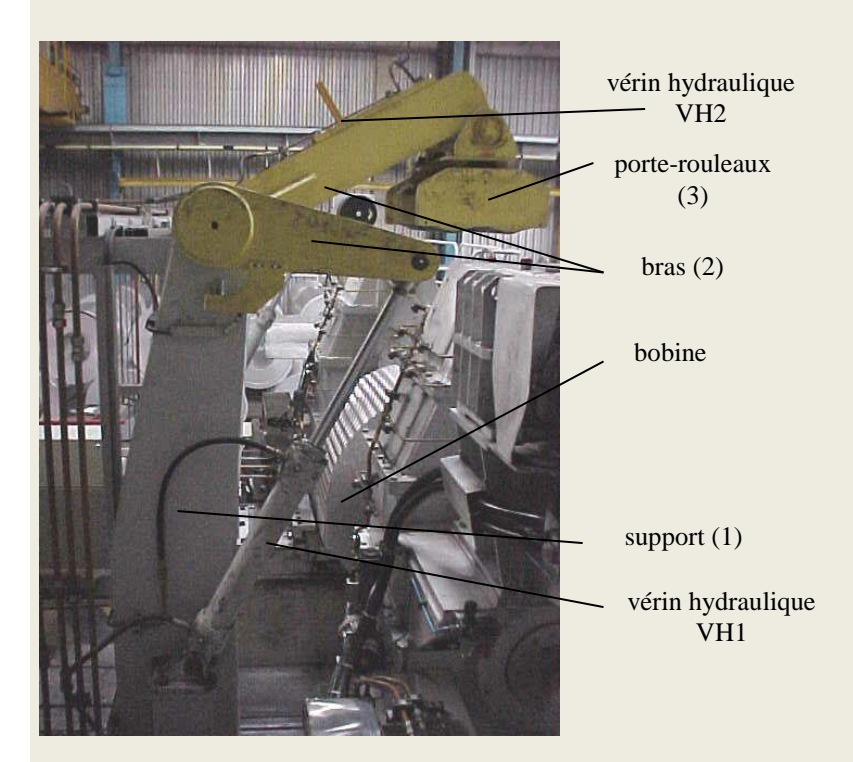
Lycée Claude Fauriel Page 1 sur 16

Illustration: ligne de fabrication de tôle d'aluminium (extrait Centrale Marseille MP 02)

La société Péchiney-Rhénalu installée à Issoire (Puy de Dôme) est spécialisée dans la fabrication de tôles d'aluminium de différentes épaisseurs à hautes caractéristiques mécaniques. Schématiquement, le processus de fabrication débute par la coulée de lingots d'aluminium et de métaux d'addition qui sont ensuite laminés et conditionnés en bobines. Ces bobines de diamètre maxi 2700 mm, pesant autour de 25 tonnes sont ensuite déroulées et débitées en tôles de différentes dimensions.

On centre notre étude mécanique sur le bras porte rouleau équipant le poste d'entrée de la ligne LG37 comme le montre la photo.

Dans cet ensemble mécanique, on distingue notamment le support (1), le bras (2) animé en rotation par les 2 vérins hydrauliques VH1, le vérin hydraulique VH2, le porte-rouleau (3) ainsi que les deux rouleaux (4) et (5).



2 VH2 H Outil

Outil

Notice of 10 mm

N

La dérouleuse manipule des bobines de tôles d'alliages d'aluminium de forme cylindrique, enroulées sur un mandrin expansible. Afin de faciliter leurs manipulations, la dernière

spire des bobines de tôles est soudée. Après chargement de la bobine sur le poste d'entrée et positionnement de l'ensemble mobile, la première opération consiste à venir casser le cordon de soudure qui maintient la dernière couche enroulée.

Les deux vérins hydrauliques (VH1) placés de part et d'autre du mécanisme, animent en rotation le bras (2) équipé de la tête (3) permettant le contact entre les rouleaux (4 et 5) et la bobine (6). L'outil, solidaire du coude (7), est actionné par l'unique vérin hydraulique (VH2). L'opérateur commande la rotation lente de la bobine de façon à amener le cordon de soudure en contact avec l'extrémité de l'outil. Ce dernier permet ainsi de casser le cordon de soudure qui maintenait la tôle enroulée.

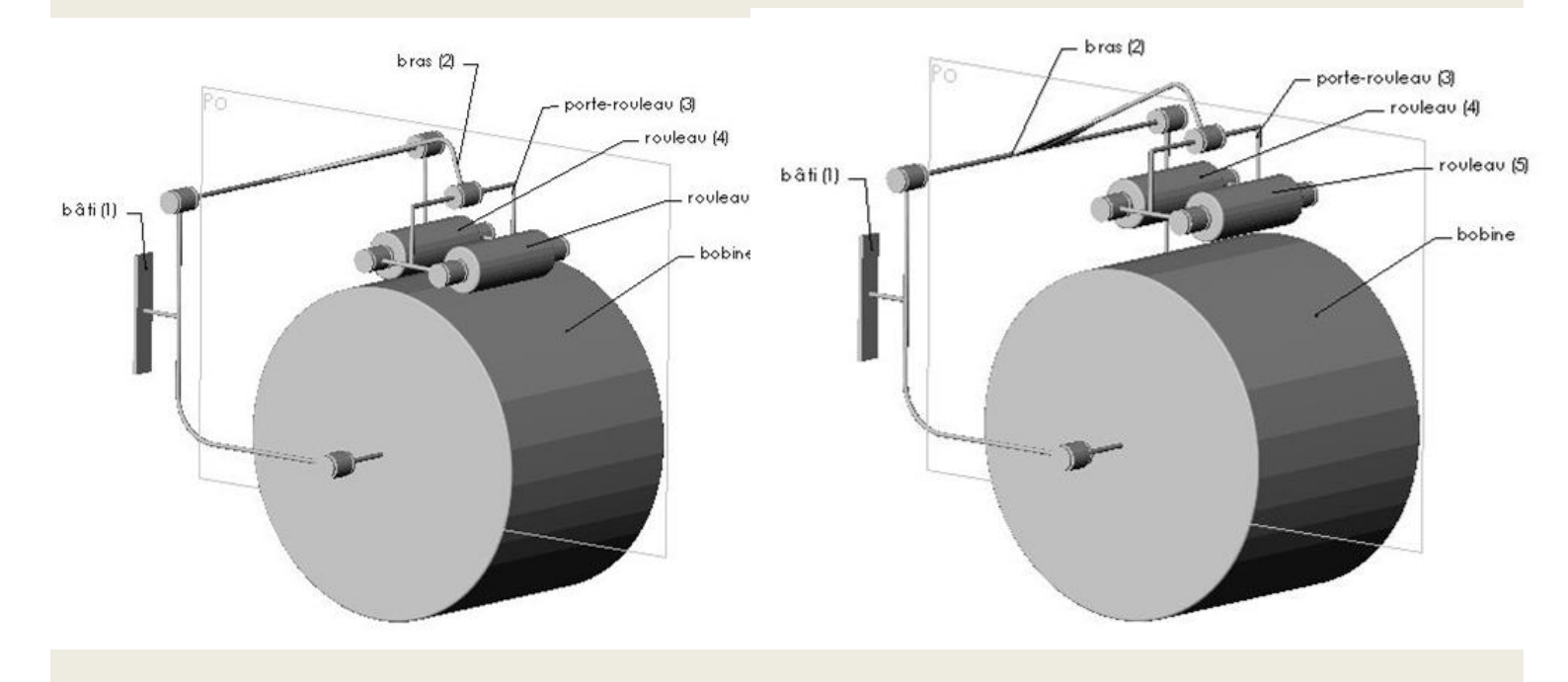
Durant toute cette phase, les vérins hydrauliques (VH1) maintiennent les rouleaux (4 et 5) en contact avec la bobine Ils appliquent ainsi un effort presseur sur la bobine évitant le déroulement spontané de la première spire une fois le cordon de soudure cassé.

Extrait du cahier des charges :

exigence	critères	valeurs		
Assurer le maintien				
de la bobine sans	Pression de contact	P < 1500 daN/m		
« marquage » de la	rouleau/bobine	pression de « matage »		
tôle d'aluminium				

Lycée Claude Fauriel Page 2 sur 16

Les figures ci-après montrent schématiquement les deux configurations possibles du mécanisme sans contact ou en contact entre les rouleaux et la bobine. On a volontairement omis de représenter les vérins hydrauliques (VH1 et VH2) car ils n'interviennent pas dans le modèle cinématique.



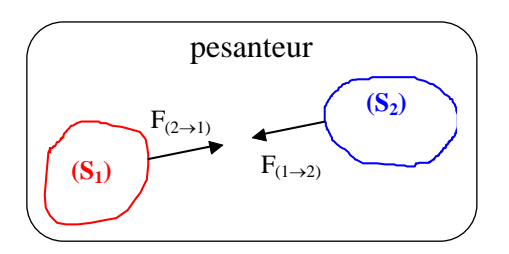
1 - Modélisation des actions mécaniques :

1.1 - Définition:

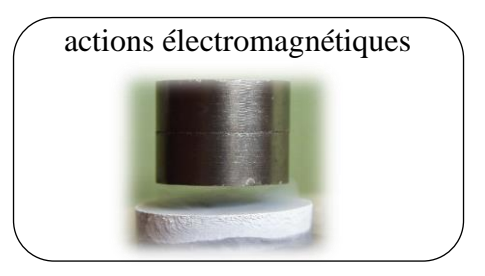
On appelle action mécanique toute cause susceptible de maintenir un solide au repos ou de créer un mouvement ou de déformer un solide (solide ou ensemble de solides).

On distingue deux types d'actions mécaniques:

- les actions volumiques ou à distance qui s'exercent sans contact entre les solides:



ou



- les actions surfaciques ou de contact:



ou



Lycée Claude Fauriel Page 3 sur 16

 (S_1)

1.2 - Modélisation locale:

1.2.1- Actions volumiques

 $dF(M) = f(M).dv.\vec{u}(M)$ sur un volume élémentaire dv

f(M) = répartition volumique d'effort en M en N/m³

Pour la pesanteur : $\vec{u}(M)$ = verticale descendante

 $f(M) = \rho(M).g$ avec $\rho(M) = masse volumique en kg/m³$

Cours : statique des solides

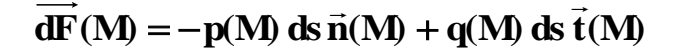
et g = accélération de la pesanteur



1.2.2 Actions surfaciques:

Soient deux solides S1 et S2 en contact sur une surface ds. On isole S1. L'action est dirigée vers l'intérieur du solide isolé.

action locale en M de S2 sur S1: $\overrightarrow{dF}(M) = \overrightarrow{dF_n}(M) + \overrightarrow{dF_t}(M)$



p(M) = pression de contact en M

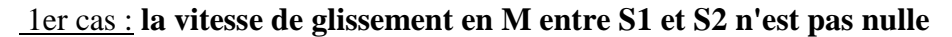
 $\vec{n}(M)$ = vecteur unitaire normal au plan tangent commun en M, orienté vers l'extérieur du solide isolé.

q(M) = répartition surfacique tangentielle d'effort en M.

 \vec{t} (M) = vecteur unitaire d'une direction du plan tangent commun en M.

S'il n'y a pas de frottement en M (ou s'il est négligeable ou si fluide sur solide), q(M) = 0

Sinon, **les lois de Coulomb** définissent q(M) et la direction et le sens de \vec{t} (M):



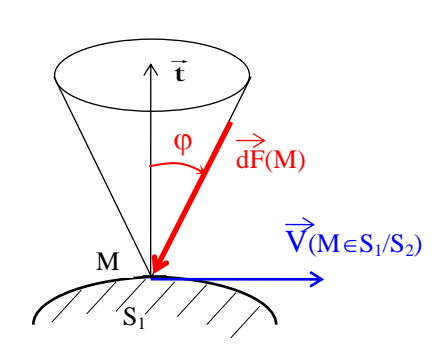
$$\vec{V}$$
 (M \in S1/S2) $\neq \vec{0}$

q(M) = f.p(M) avec f = coefficient de frottement en M entre S1 et S2

 \vec{t} (M) est opposée à la vitesse de glissement de S1/S2 (S1 étant le solide isolé)

$$f = \tan \varphi = \frac{q(M)}{p(M)}$$

le cône de frottement est le cône de demi-angle au sommet φ sur lequel se situe l'action élémentaire lorsque la vitesse de glissement change de direction.

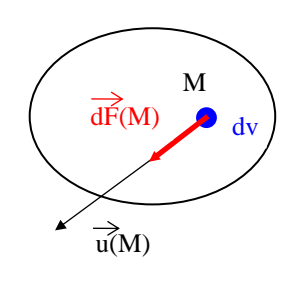


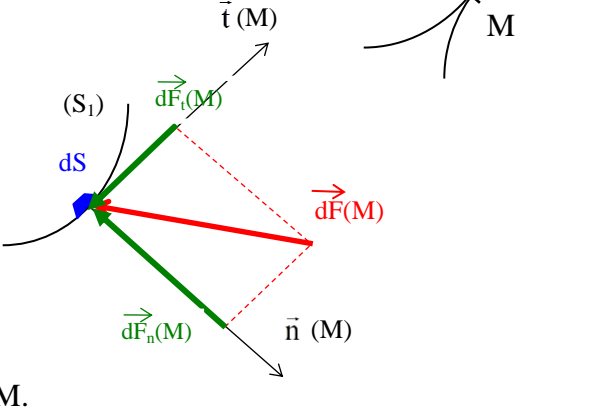
<u>2ème cas:</u> la vitesse de glissement en M entre S₁ et S₂ est nulle

$$\vec{V}$$
 (M \in S1/S2) = $\vec{0}$

 $q(M) \le f.p(M)$ et \vec{t} (M) de direction indéterminée

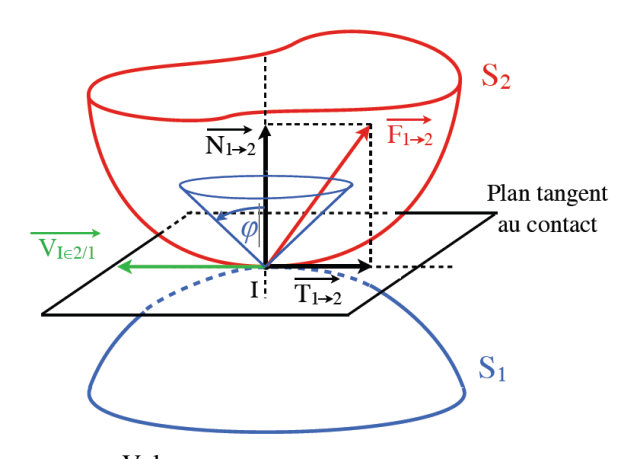
L'effort est alors à l'intérieur du cône de frottement, incliné de $\alpha \leq \phi$ par rapport à la normale \vec{t} . L'effort n'est jamais à l'extérieur du cône de frottement!





Cas du contact ponctuel : $\vec{F}_{1\rightarrow 2} = \vec{N}_{1\rightarrow 2} + \vec{T}_{1\rightarrow 2}$

- Si $\vec{V}(I \in 2/1) = \vec{0}$; $\|\vec{T}_{1\rightarrow 2}\| \le f \|\vec{N}_{1\rightarrow 2}\|$ et $\vec{T}_{1\rightarrow 2}$ de direction inconnue (\in plan tangent)
- Si $\vec{V}(I \in 2/1) \neq \vec{0}$; $\|\vec{T}_{1 \to 2}\| = f \|\vec{N}_{1 \to 2}\|$ et $\vec{T}_{1 \to 2}$ opposé à $\vec{V}(I \in 2/1)$



Le coef. de frott. dépend de nombreux critères :

- nature des matériaux en contact (critère prépondérant)
- état de surface
- température
- pression de contact
- vitesse de glissement

<u>Valeurs moyennes</u>:

acier/acier: 0,15 acier/bronze: 0,10 acier/Ferodo: 0,3 pneu/route: 0,6

En général, on prend une valeur moyenne constante en tout point de la surface.

1.3 - Modélisation globale:

Soit S le solide isolé: $\overrightarrow{F}(Ext \rightarrow S) = \int_{M \in S} \overrightarrow{dF}(M)$ On perd de l'information en globalisant les efforts.

<u>Premier principe de la statique:</u> Toute action mécanique est entièrement caractérisée, d'un point de vue mécanique, par un torseur.

Le torseur d'action mécanique permet de rendre compte de « l'effet » d'une force ailleurs qu'en son point d'application. Le moment représente l'aptitude d'une force à faire tourner une solide autour d'un axe donné.

$$T(Ext \rightarrow S) = \begin{cases} \vec{F}(Ext \rightarrow S) \\ \vec{M}_{A}(Ext \rightarrow S) \end{cases} \text{ avec } \vec{M}_{B}(Ext \rightarrow S) = \vec{M}_{A}(Ext \rightarrow S) + \vec{F}(Ext \rightarrow S) \land \vec{AB}$$

Illustration : pourquoi les poignées de portes sont-elles placées à l'opposé des gonds ?

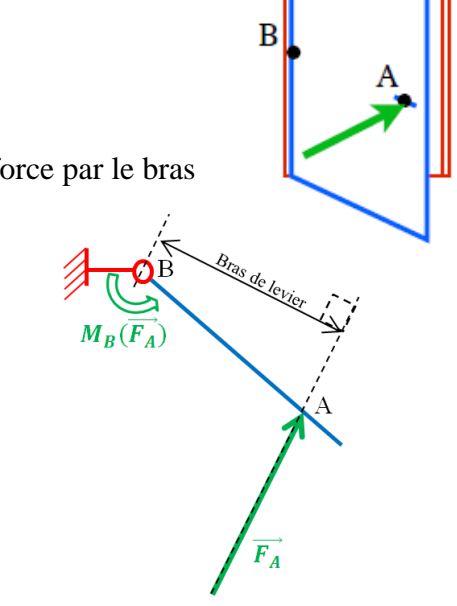
$$\begin{cases} \vec{F}(\text{Ext} \to \text{porte}) = \overrightarrow{F_{A}} \\ \vec{M}_{A}(\text{Ext} \to \text{porte}) = \vec{0} \end{cases} = \begin{cases} \vec{F}(\text{Ext} \to \text{porte}) = \overrightarrow{F_{A}} \\ \vec{M}_{B}(\text{Ext} \to \text{porte}) = \overrightarrow{F_{A}} \land \overrightarrow{AB} \neq \vec{0} \end{cases}$$

La force en A produit un moment en B dont le module est le produit de la force par le bras de levier (distance d du point B à la droite support de la force).

$$\|\overrightarrow{\mathbf{M}}_{\mathrm{B}}(\mathrm{Ext} \to \mathrm{porte})\| = \|\overrightarrow{\mathbf{F}_{\mathrm{A}}} \wedge \overrightarrow{\mathrm{AB}}\| = \|\overrightarrow{\mathbf{F}_{\mathrm{A}}}\|.\mathrm{d}$$

Moralité : pour fermer une porte, on exerce une force Perpendiculairement à la porte le plus loin possible (à l'opposé) Des gonds. La force sera ainsi minimale.

Afin de montrer la nécessité du modèle torseur pour les actions Mécaniques, répondre aux questions de l'exercice « frein de TGV »(fin du cours).



Lycée Claude Fauriel Page 5 sur 16

Cas particuliers:

- Actions mécaniques représentables par un couple : action du stator sur le rotor d'un moteur électrique

$$T(Ext \rightarrow S) = \begin{cases} \vec{0} \\ \vec{M}_A(Ext \rightarrow S) \end{cases}$$



- Actions mécaniques représentables par un glisseur : c'est une « force centrale en physique »

$$T(Ext \rightarrow S) = \begin{cases} \vec{F}(Ext \rightarrow S) \\ \vec{0} \end{cases}$$



pour tout point $M \in \text{droite d'action}, \ \vec{M}_M = \vec{0}$

1.3.1 - Actions à distance: pesanteur

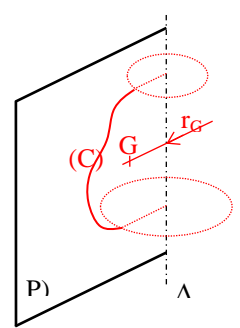
$$\int_{M \in S} -\rho(M) \ g \ \vec{z} \ dv \ = \overrightarrow{P} \ = \text{-m} \ g \ \vec{z} \ \text{avec} \ \vec{z} \ = \text{verticale ascendante}$$

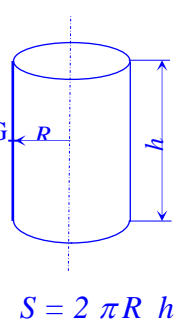
$$\mathbf{T}(\mathbf{pes} \rightarrow \mathbf{S}) = \begin{cases} \vec{\mathbf{P}} \\ \vec{\mathbf{0}} \end{cases} \quad \text{avec G(barycentre) tel que } \int \overrightarrow{GM} \, dm = \vec{\mathbf{0}} \quad \Rightarrow m \ \overrightarrow{OG} = \int_{M \in S} \overrightarrow{OM} \, dm$$

Premier théorème de Guldin:

L'aire de la surface engendrée par une courbe plane C tournant autour d'un axe Δ de son plan P, ne la traversant pas, est égale au produit de la longueur de la courbe par le périmètre du cercle décrit par son centre de gravité.

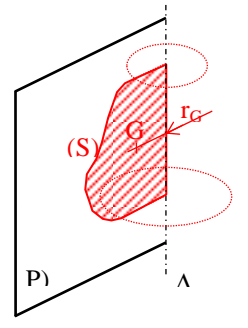
$$S = 2 \pi r_G L$$

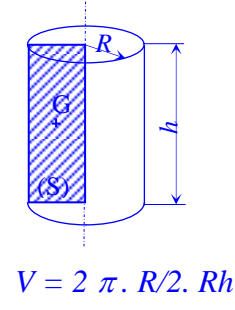




Deuxième théorème de Guldin:
Le volume engendré par une surface S
plane tournant autour d'un axe Δ de son plan,
ne la traversant pas, est égal au produit de
l'aire de la surface par le périmètre du
cercle décrit par son centre de gravité.

$$V = 2 \pi r_G S$$





Ces 2 théorèmes permettent de trouver des surfaces, des volumes ou la position de centres de gravité.

1.3.2 - Action hydrostatique d'un fluide sur un solide :

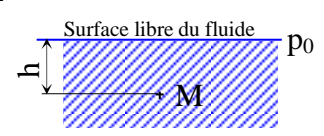
• Pression variable: pression en un point M d'un fluide: $p(M) = p_0 + \rho g z$

avec $p_0 = pression à la surface libre du fluide$

 ρ = masse volumique du fluide

g = accélération de la pesanteur

z = profondeur au point M depuis la surface libre du fluide

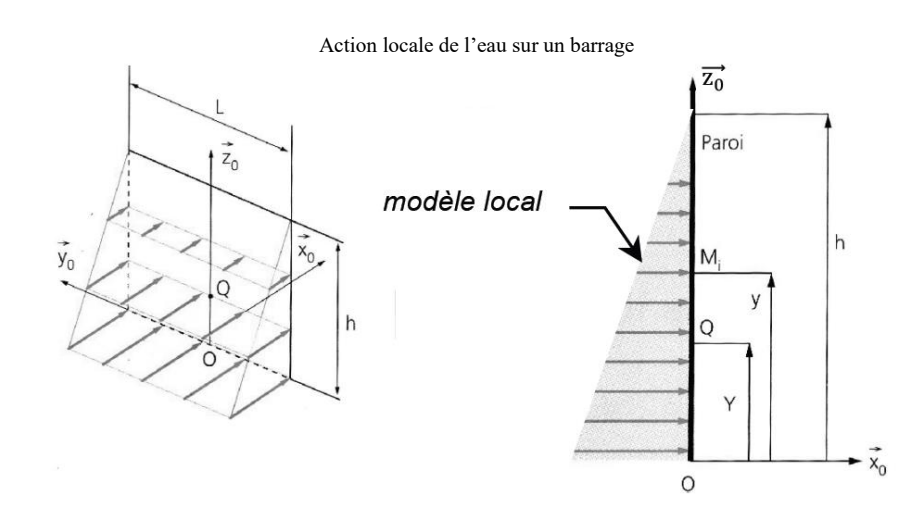


Lycée Claude Fauriel

On a alors

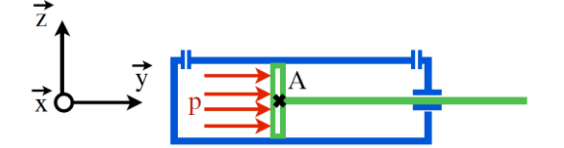
$$T(fluide \rightarrow S) = \begin{cases} \int_{S} -p(M)\vec{n}(M)dS \\ \int_{S} -\overrightarrow{OM} \wedge p(M)\vec{n}(M)dS \end{cases}$$

 \vec{n} (M) = normale en M dirigée vers l'extérieur du solide isolé



• Pression constante : $p(M) = p_0$

$$\begin{cases} \vec{F}(\text{huile} \rightarrow \text{piston}) = \text{p.S } \vec{y} \\ \vec{M}_{A}(\text{huile} \rightarrow \text{piston}) = \vec{0} \end{cases}$$



Action de l'huile dans un vérin hydraulique

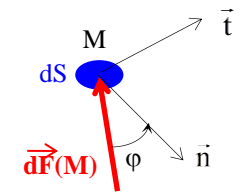
1.3.3 - Actions de contact entre solides :

La répartition des efforts est très complexe (imperfections des surfaces de contact) \Rightarrow lois empiriques pour fournir des ordres de grandeur : le modèle le plus simple est de choisir une pression uniforme entre les pièces c'est-à-dire $p(M) = p_0 = Cte$

d'où l'action élémentaire en M(à la limite du glissement):

$$\overrightarrow{dF}(M) = -p_0 .dS. \overrightarrow{n}(M) + f.p_0 .dS. \overrightarrow{t}(M)$$





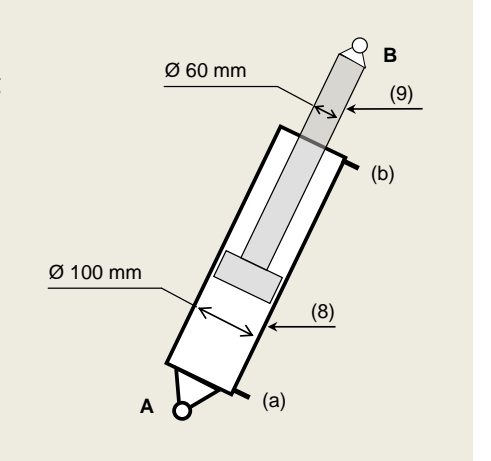
$$T(S_2 \rightarrow S_1) = \left\{ \begin{cases} \int\limits_S -p(M) \, \vec{n}(M) \, dS + q(M) \vec{t}(M) \, dS \\ \int\limits_S \overrightarrow{OM} \wedge (-p(M) \, \vec{n}(M) \, dS + q(M) \vec{t}(M) \, dS \end{cases} \right\} = \left\{ \int\limits_S -p_0 \, \vec{n}(M) \, dS + fp_0 \vec{t}(M) \, dS \\ \int\limits_S \overrightarrow{OM} \wedge (-p_0 \, \vec{n}(M) \, dS + fp_0 \vec{t}(M) \, dS \end{cases} \right\}$$

Illustration: ligne de fabrication de tôle d'aluminium

Durant la phase de préparation de la bobine (cassure du cordon de soudure) les vérins VH1 maintiennent l'ensemble (2+3) de manière à appliquer un effort presseur sur la tôle, évitant son déroulement spontané. Dans cette configuration, ce sont les chambres (b) des vérins qui sont alimentées (voir figure ci-contre). La pression d'alimentation des chambres (b) est estimée à $60.10^5~Pa$. Les chambres (a) sont à l'échappement (on suppose alors une pression nulle).

On se propose de déterminer l'intensité des actions de contact entre les rouleaux et la bobine.

L'intensité des actions mécaniques extérieures mises en jeu sur le système permet de négliger les actions mécaniques de pesanteur.



Lycée Claude Fauriel Page 7 sur 16

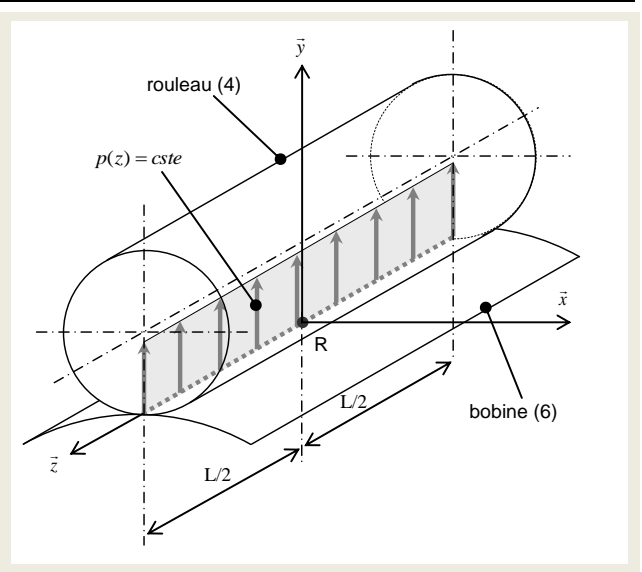
On modélise les actions de contact entre les rouleaux et la bobine à partir de la géométrie du contact (en supposant une répartition de pression linéique constante (p en N/m) comme le montre la figure ci-contre).

Q1 : Déterminer l'expression littérale du torseur de l'action mécanique de la bobine (6) sur un rouleau en R, en fonction de **p** et L.

la pression de contact p est supposée cste

la surface de contact est le segment L : suivant (R,\vec{z}) de longueur L la normale au contact orientée vers l'extérieur du solide isolé est $\vec{n}(M) = -\vec{v}$

le frottement est négligé (les rouleaux sont montés libres sur axes de rotation : pas de moteur)



1.3.4 - Actions de contact dans les liaisons sans frottement:

Nous allons chercher à caractériser le torseur des actions mécaniques de contact (ou torseur des inter-efforts ou torseur des efforts transmissibles) entre les solides S1 et S2 pour les liaisons normalisées. De façon générale, ce torseur s'écrit:

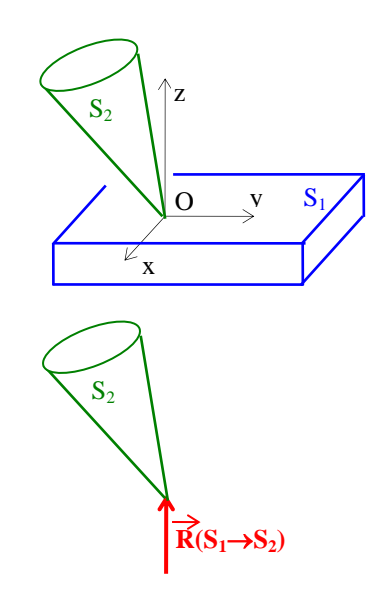
$$T(S_1 \rightarrow S_2) = \begin{cases} \vec{R}(S_1 \rightarrow S_2) \\ \vec{M}_O(S_1 \rightarrow S_2) \end{cases} = \begin{cases} X \vec{x} + Y \vec{y} + Z \vec{z} \\ L \vec{x} + M \vec{y} + N \vec{z} \end{cases} = \begin{cases} X & L \\ Y & M \\ Z & N \end{cases}_R$$

1.3.4.1 - Contact ponctuel:

Pas de frottement $\Rightarrow \vec{R}$ (S1 \rightarrow S2) porté par la normale en O (point de contact entre S₁ et S₂) au plan tangent commun aux 2 solides soit \vec{z}

et
$$\vec{M}_0(S1 \rightarrow S2) = 0$$
 d'où le torseur $T(S_1 \rightarrow S_2) = \begin{cases} 0 & 0 \\ 0 & 0 \\ Z & 0 \end{cases}_R$

Le torseur d'inter-efforts garde cette forme en tout point de l'axe \vec{z} .



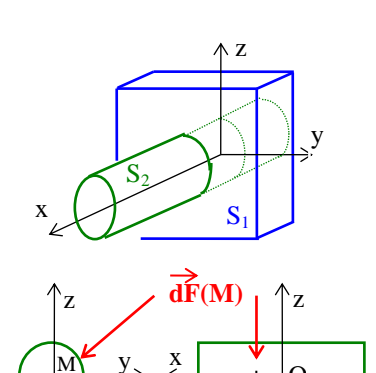
Lycée Claude Fauriel Page 8 sur 16

1.3.4.2 - Liaison pivot glissant:

Pas de frottement $\Rightarrow \overrightarrow{dF}(M) = -p(M).dS. \overrightarrow{n} \perp (O, \overrightarrow{x})$

$$\vec{R}$$
 (S1 \rightarrow S2) = $\int_{M \in S_2} -p(M).\vec{n}.dS \perp (O, \vec{x}) \Rightarrow \vec{R}$ (S1 \rightarrow S2) = \vec{Y} \vec{y} + \vec{Z} \vec{z}

$$\overrightarrow{dM} = \overrightarrow{OM} \wedge \overrightarrow{dF} = (\overrightarrow{OM'} + \overrightarrow{M'M}) \wedge \overrightarrow{dF} = \overrightarrow{OM'} \wedge \overrightarrow{dF} \perp (O, \vec{x})$$
 donc $\overrightarrow{M} (S1 \rightarrow S2) = M \vec{y} + N \vec{z}$



d'où le torseur des inter-efforts de la liaison pivot glissant:
$$T(S_1 \rightarrow S_2) = \begin{cases} 0 & 0 \\ Y & M \\ Z & N \end{cases}_R$$

(forme identique en tout point de l'axe x)

<u>Remarque</u>: les degrés de liberté de la liaison apparaissent sous forme de composantes nulles dans le torseur statique (pas de transmission possible d'efforts si mouvement entre les 2 solides):

- rotation autour de $x \Rightarrow pas$ de moment sur x
- translation selon $x \Rightarrow pas$ de résultante sur x

→ Tableau récapitulatif des formes des torseurs statiques des liaisons:

Liaison	Torseur	Forme particulière conservée	Liaison	Torseur	Forme particulière conservée
ponctuelle de normale (O, z̄)	$ \begin{bmatrix} 0 & 0 \\ 0 & 0 \\ Z & 0 \end{bmatrix}_{R} $	points de (O, z)	pivot glissant d'axe (O, \vec{x})	$ \begin{bmatrix} 0 & 0 \\ Y & M \\ Z & N \end{bmatrix}_R $	points de (O, \vec{x})
linéique rectiligne d'axe (O, \vec{x}) de normale (O, \vec{z})	$ \begin{bmatrix} 0 & 0 \\ 0 & M \\ Z & 0 \end{bmatrix}_{R} $	points du plan (O, \vec{x}, \vec{z})	glissière hélicoïdale d'axe (O, x̄)	$ \begin{cases} X & L \\ Y & M \\ Z & N \end{cases}_R $	points de (O, \vec{x}) $L = -pX/2\pi$
linéique annulaire d'axe (O, x̄)	$ \begin{cases} 0 & 0 \\ Y & 0 \\ Z & 0 \end{cases}_{R} $	au point O	glissière d'axe (O, \vec{x})	$ \begin{cases} 0 & L \\ Y & M \\ Z & N \end{cases}_R $	en tout point de l'espace
rotule de centre O	$ \begin{cases} X & 0 \\ Y & 0 \\ Z & 0 \end{cases}_{R} $	au point O	pivot d'axe (O, \vec{x})	$ \begin{cases} X & 0 \\ Y & M \\ Z & N \end{cases}_R $	points de (O, \vec{x})
appui plan de normale (O, z̄)	$ \begin{bmatrix} 0 & L \\ 0 & M \\ Z & 0 \end{bmatrix}_{R} $	en tout point de l'espace	encastrement	$ \begin{bmatrix} X & L \\ Y & M \\ Z & N \end{bmatrix}_R $	en tout point de l'espace

Lycée Claude Fauriel Page 9 sur 16

2 - Isolement d'un système matériel:

Système matériel E = ensemble de solides et fluides qu'on veut étudier (pas nécessairement figé dans une position).

2.1 - Système isolé: tout ou partie d'un système matériel que l'on rend distinct de son environnement \rightarrow quantité de fluide, partie de pièce, une pièce ou un ensemble de pièces...

L'espace est donc séparé en 2 parties: le système isolé E et son environnement \overline{E} .

2.2 - Efforts intérieurs et extérieurs:

- efforts extérieurs appliqués à un système E= actions mécaniques exercées par \overline{E} sur E modélisée par un torseur.
 - efforts intérieurs: actions exercées mutuellement par les différentes parties du système isolé.

3 - Principe fondamental de la statique:

3.1 - Équilibre d'un système matériel E par rapport à un repère R: on dit qu'un système E est en équilibre par rapport à un repère R si, à un instant donné, tous ses éléments sont immobiles par rapport à R.

E en équilibre /
$$R \Leftrightarrow \forall M \in E, \overrightarrow{V}(M \in E/R) = \overrightarrow{0}$$

3.2 - Énoncé du principe fondamental de la statique:

Si un système matériel E est en équilibre par rapport à un repère galiléen, alors le torseur des actions extérieures qui lui est appliqué est égal au torseur nul.

$$\mathbf{T}(\mathbf{\bar{E}} \to \mathbf{E}) = \left\{ \frac{\vec{\mathbf{0}}}{\vec{\mathbf{0}}} \right\}$$

Attention à bien écrire les torseurs au même point de réduction!



 $T(Ext \rightarrow ciseaux) = \{0\}$ mais les ciseaux ne sont pas en équilibre !



Repères galiléens approchés (cf cours de physique):

- repère de Copernic (centre = soleil, directions = 3 étoiles) ⇒ étude des fusées
- repère défini par le centre d'inertie de la terre et les directions de 3 étoiles
- ⇒ mouvement des corps restant au voisinage de la terre ou expériences terrestres de longue durée
 - repère lié à la terre ⇒ études abordées en S.I.

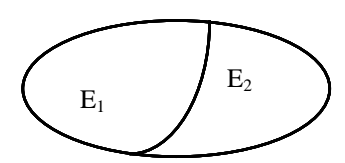
3.3 - Théorèmes généraux de la statique:

- Théorème de la Résultante Statique : E en équilibre / $R_g \Rightarrow \overline{R}(\overline{E} \rightarrow E) = \overline{0}$
- Théorème du Moment Statique : \overrightarrow{E} en équilibre / $R_g \Rightarrow \overrightarrow{M_0}(\overline{E} \rightarrow E) = \overrightarrow{0}$ (\forall le point 0)

Conséquence: en projetant ces 2 équations vectorielles sur un repère orthonormé, on trouve 6 équations scalaires; la résolution d'un problème de statique revient donc à écrire et résoudre un système de 6 équations scalaires.

Lycée Claude Fauriel Page 10 sur 16

3.4 - Théorème des actions réciproques (ou mutuelles): Soit $E = E_1 \cup E_2$



$$T(\overline{E} \rightarrow E) = T(\overline{E} \rightarrow E_1) + T(\overline{E} \rightarrow E_2) = \{0\}$$
 (1)

$$T(\overline{E}_1 \rightarrow E_1) = T(E_2 \rightarrow E_1) + T(\overline{E} \rightarrow E_1) = \{0\}$$
 (2)

$$T(\overline{E}_2 \rightarrow E_2) = T(E_1 \rightarrow E_2) + T(\overline{E} \rightarrow E_2) = \{0\}$$
 (3)

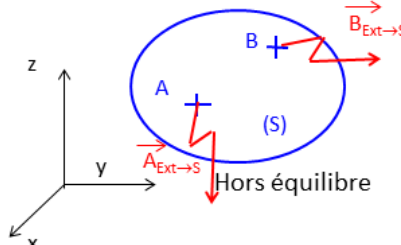
(1) - (2) - (3)
$$T(E_2 \rightarrow E_1) + T(E_1 \rightarrow E_2) = \{0\}$$

Si un système matériel E_1 exerce une action mécanique sur un autre système E_2 , alors E_2 exerce sur E_1 une action opposée.

3.5 - Équilibre d'un solide (ou ensemble de solides) soumis à 2 actions modélisables par des glisseurs:

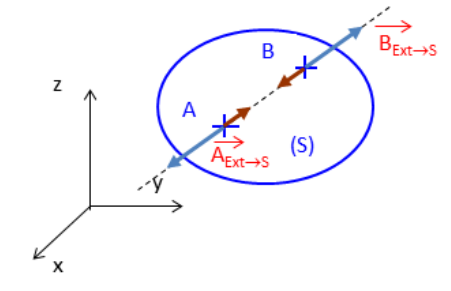
Notation: $\vec{A}_{Ext \to S}$ = effort modélisable par un glisseur exercé en A par l'extérieur sur S

$$T_{A}(Ext \rightarrow S) = \begin{cases} \vec{A}_{Ext \rightarrow S} \\ \vec{0} \end{cases} \text{ et } T_{B}(Ext \rightarrow S) = \begin{cases} \vec{B}_{Ext \rightarrow S} \\ \vec{0} \end{cases}$$



$$S \text{ en \'equilibre} \Rightarrow \begin{cases} \vec{A}_{Ext \to S} + \vec{B}_{Ext \to S} = \vec{O} & (1) \\ \\ \vec{AB} \wedge \vec{B}_{Ext \to S} = \vec{O} & \Rightarrow \vec{AB} \text{ et } \vec{B}_{Ext \to S} \text{ colin\'eaires donc } \vec{B}_{Ext \to S} \text{ passe par A} \end{cases}$$

de (1) $\vec{A}_{Ext \to S}$ opposé à $\vec{B}_{Ext \to S}$ donc $\vec{A}_{Ext \to S}$ passe par B. les normes et les sens des forces restent inconnus.



<u>Théorème</u>: si un solide (ou un ensemble de solides) est en équilibre sous l'action de 2 efforts modélisables par des <u>glisseurs</u>, ceux-ci sont colinéaires et de somme nulle.

Exemple: solide sur un plan incliné

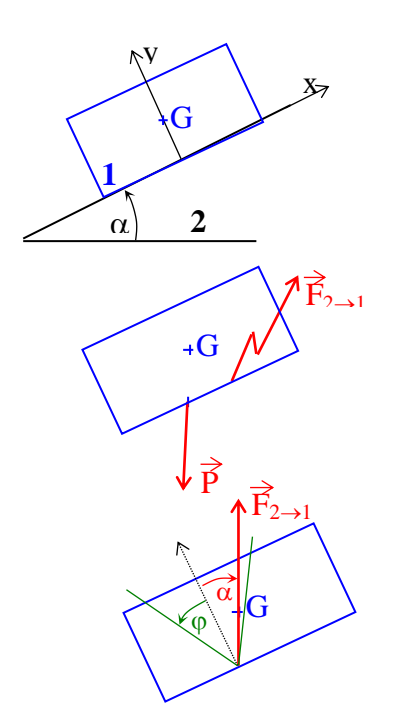
On suppose l'action de 2 sur 1 modélisable par un glisseur.

Déterminons le coefficient de frottement minimal pour que ${\bf 1}$ reste en équilibre.

a – on isole le solide $\mathbf{1}$ et on fait le bilan des actions extérieures:

b-1 est en équilibre sous l'action de deux glisseurs: ils sont donc directement opposés $\Rightarrow \vec{F}_{2\rightarrow 1}$ est vertical et passe par G

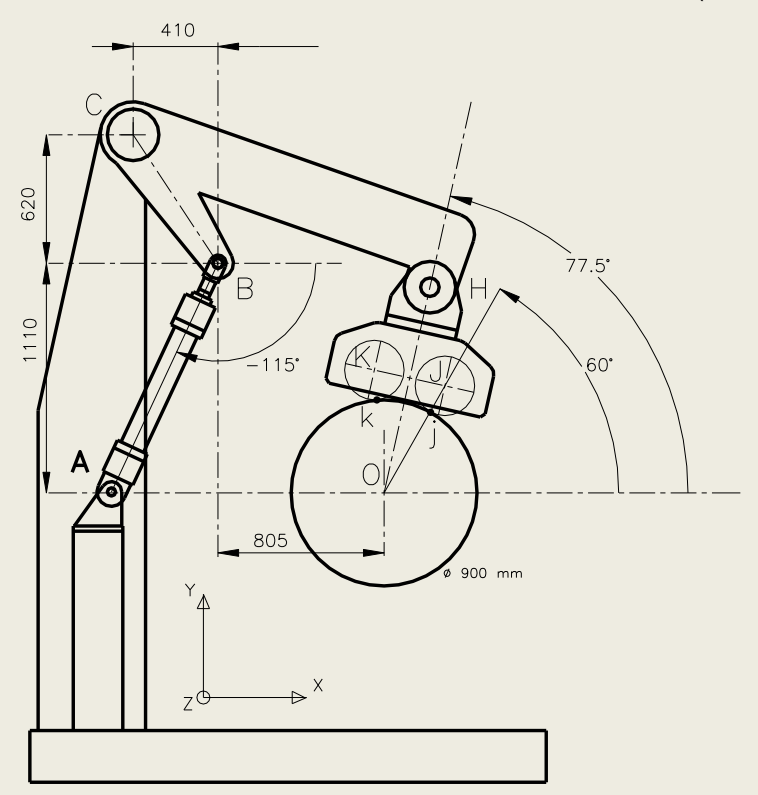
c - $\overrightarrow{F}_{2 \to 1}$ est à l'intérieur du cône de frottement $\Rightarrow \mathbf{1}$ reste en équilibre si $\alpha < \varphi$



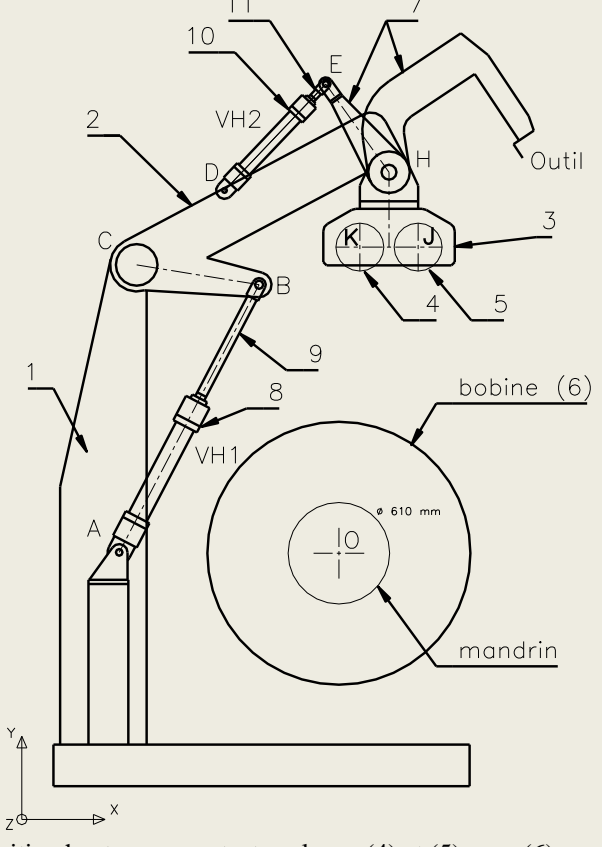
Lycée Claude Fauriel Page 11 sur 16

Illustration: ligne de fabrication de tôle d'aluminium

ETUDE DE LA POSITION BASSE (CONFIGURATION AVEC CONTACT)



Position basse avec contact rouleaux (4) et (5) avec (6)



Position haute sans contact rouleaux (4) et (5) avec (6)

On suppose que les liaisons en A et B sont des liaisons rotules parfaites.

Q2 : Justifier que le support de $\vec{B}_{9\to2}$ (résultante des actions mécaniques des deux vérins VH1 sur 2) est porté par la droite (AB).

On isole l'ensemble 8+9+fluide contenu dans le vérin. Il est soumis à l'action de la pesanteur que l'on néglige et aux actions en A et B.

$$\{T_{1 \rightarrow 8}\} = \begin{cases} \overrightarrow{R}(1 \rightarrow 8) \\ \overrightarrow{M}_{A}(1 \rightarrow 8) \end{cases} = \begin{cases} X_{18} \ 0 \\ Y_{18} \ 0 \\ Z_{18} \ 0 \end{cases} \text{ et } \{T_{2 \rightarrow 9}\} = \begin{cases} \overrightarrow{R}(2 \rightarrow 9) \\ \overrightarrow{M}_{B}(2 \rightarrow 9) \end{cases} = \begin{cases} X_{29} \ 0 \\ Y_{29} \ 0 \\ Z_{29} \ 0 \end{cases} \text{ ce sont des glisseurs }$$

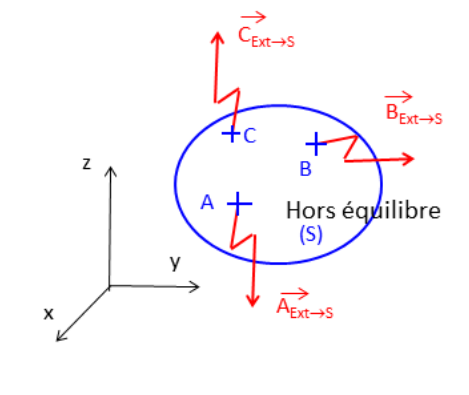
Le TMS nous dit que ces glisseurs ont même support, la droite passant par leur point d'application : (AB)

3.6 - Équilibre d'un solide (ou ensemble de solides) soumis à 3 actions modélisables par des glisseurs:

$$\mathsf{T}_{A}(\mathsf{Ext}{\to}\mathsf{S}) = \left\{ \vec{\mathsf{A}}_{\mathsf{Ext}{\to}\mathsf{S}} \right\} \qquad \mathsf{T}_{B}(\mathsf{Ext}{\to}\mathsf{S}) = \left\{ \vec{\mathsf{B}}_{\mathsf{Ext}{\to}\mathsf{S}} \right\}$$

$$\mathsf{T}_{\mathsf{C}}(\mathsf{Ext} \to \mathsf{S}) = \begin{cases} \vec{\mathsf{C}}_{\mathsf{Ext} \to \mathsf{S}} \\ \vec{\mathsf{0}} \end{cases}$$

$$S \text{ en \'equilibre} \Rightarrow \begin{cases} \vec{A}_{Ext \to S} + \vec{B}_{Ext \to S} + \vec{C}_{Ext \to S} = \vec{O} & (1) \\ \\ \vec{AB} \wedge \vec{B}_{Ext \to S} + \vec{AC} \wedge \vec{C}_{Ext \to S} = \vec{O} & (2) \end{cases}$$



Lycée Claude Fauriel Page 12 sur 16

$$\vec{X} = \overrightarrow{AB} \wedge \vec{B}_{Ext \to S} \qquad \bot \overrightarrow{AB} \text{ et } \bot \vec{B}_{Ext \to S} \qquad \text{donc } \bot \text{ au plan } P_1 \text{ contenant } A, B \text{ et } \vec{B}_{Ext \to S}$$

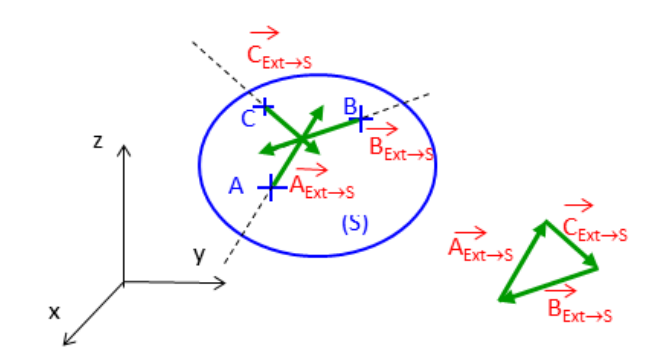
$$\vec{Y} = \overrightarrow{AC} \wedge \vec{C}_{Ext \to S} \qquad \bot \overrightarrow{AC} \text{ et } \bot \vec{C}_{Ext \to S} \qquad \text{donc } \bot \text{ au plan } P_2 \text{ contenant } A, C \text{ et } \vec{C}_{Ext \to S}$$

de (2), \vec{X} et \vec{Y} sont colinéaires donc les plans P_1 et P_2 ont une normale commune et un point commun $A \Rightarrow$ ils sont confondus donc $\vec{B}_{Ext \to S}$ et $\vec{C}_{Ext \to S}$ appartiennent au même plan $P_1 = P_2 = P$

de (1), $\vec{A}_{Ext \to S} \in P \implies$ les 3 glisseurs $\vec{A}_{Ext \to S}$, $\vec{B}_{Ext \to S}$ et $\vec{C}_{Ext \to S}$ sont coplanaires.

* soit I l'intersection de $\vec{A}_{Ext \to S}$ et de $\vec{B}_{Ext \to S}$ si elle existe $\Rightarrow \vec{M}_{I}(\vec{A}_{Ext \to S}) = \vec{O}$ et $\vec{M}_{I}(\vec{B}_{Ext \to S}) = \vec{O}$

Exprimons le théorème du moment statique en I: $\vec{M}_{I}(\vec{A}_{Ext \to S}) + \vec{M}_{I}(\vec{B}_{Ext \to S}) + \vec{M}_{I}(\vec{C}_{Ext \to S}) = \vec{O}$



d'où $\vec{M}_{I}(\vec{C}_{Ext \to S}) = \vec{0}$ donc $\vec{C}_{Ext \to S}$ passe par $I \Rightarrow$ Les 3 glisseurs sont alors concourants en I.

* si I n'existe pas, alors $\vec{A}_{Ext \to S} // \vec{B}_{Ext \to S}$

d'après le théorème de la résultante, la somme des 3 glisseurs est nulle donc $\vec{C}_{Ext \to S}$ // $\vec{A}_{Ext \to S}$

<u>Théorème:</u> Si un solide, soumis à trois actions modélisables par des <u>glisseurs</u>, est en équilibre, alors ces trois glisseurs sont: - coplanaires

- concourants ou parallèles
- de somme vectorielle nulle.

Illustration: ligne de fabrication de tôle d'aluminium

ETUDE DE LA POSITION BASSE (CONFIGURATION AVEC CONTACT)

On appelle respectivement k et j les points de contact entre la bobine et les rouleaux (4 et 5) de centre K et J. On considèrera une rotule comme modèle de liaison pour la liaison en H.

Q3 : Justifier par un raisonnement simple que les actions de contact en k et j ont même intensité. On pourra isoler le sous-système ss = { tête (3) + rouleaux (4 et 5) } afin d'étayer le raisonnement.

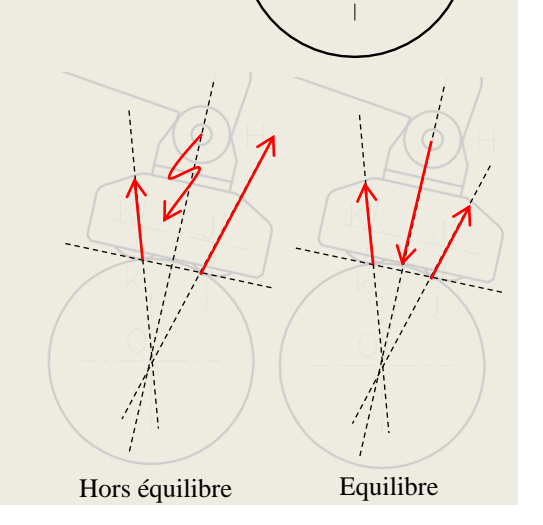
On isole le sous-système ss = $\{$ tête (3) + rouleaux (4 et 5) $\}$. Soumis à l'action :

 $\vec{k}_{6\rightarrow4}$: glisseur de direction (Ok) car frottement négligé (question 2)

 $\overline{j}_{6 \to 5}$: glisseur de direction (Oj) car frottement négligé (question 2)

 $\vec{H}_{\,2\rightarrow3}$: glisseur (liaison rotule) de direction inconnue

TMS en O \Rightarrow $\vec{H}_{2\to 3}$ de direction (OH) et TRS en projection sur la perpendiculaire à (OH) \Rightarrow module des actions en k et j de même valeur



Lycée Claude Fauriel Page 13 sur 16

4 - Applications aux problèmes plans:

Toutes les résultantes appartiennent au même plan (x,y par exemple) et tous les moments sont perpendiculaires à ce plan.

Les torseurs des actions mécaniques ont alors la forme simplifiée suivante:

$$T(S_1 \rightarrow S_2) = \begin{cases} X & - \\ Y & - \\ - & N \end{cases}_R$$

 $T(S_1 \rightarrow S_2) = \begin{cases} A & - \\ Y & - \\ - & N \end{cases}$ Les valeurs représentées par __ ne sont pas nécessairement nulles mais on n'en tient pas compte dans le problème étudié.

Les torseurs statiques des liaisons planes ont alors les formes suivantes:

- articulation = liaison pivot ou pivot glissant d'axe
$$(A, \vec{z})$$
: $T(S_1 \rightarrow S_2) = \begin{cases} X & - \\ Y & - \\ - & 0 \end{cases}_R$

L'action de S_1 sur S_2 est donc modélisable par un glisseur passant par A.

- liaison glissière ou pivot glissant d'axe \in plan(x,y), d'axe (A, \vec{x}) par exemple:



Nota: en général, on néglige le poids des pièces devant les efforts mis en jeu dans les liaisons.

Illustration: ligne de fabrication de tôle d'aluminium

ETUDE DE LA POSITION BASSE (CONFIGURATION AVEC CONTACT

On se propose de déterminer l'intensité des actions de contact entre les rouleaux et la bobine.

La figure correspondant à la position basse donnée précédemment précise, entre autres, les orientations des différents supports des glisseurs d'actions mécaniques, ainsi que les positions relatives des différents points (distances exprimées en millimètres).

Q4 : En utilisant les notations adoptées pour l'écriture des torseurs d'action mécanique, déterminer complètement les torseurs d'actions mécaniques extérieures au système (2,3,4,5). Faire les applications numériques. On utilisera comme unités le déca-Newton (daN) et le déca-Newton.mètre (daN.m).

On étudie l'équilibre du système (2,3,4,5) :

En prenant les hypothèses suivantes :

- problème plan
- liaisons parfaites
- pesanteur négligée

les actions mécaniques sont toutes modélisables par des glisseurs ce qui permet l'interprétation graphique page suivante

Le bilan des AME s'établit avec les notations conventionnelles et $\|\vec{k}_{6/S2}\| = \|\vec{j}_{6/S2}\| = R$:

• action des 2 tiges 9 des vérins: ${T_{9/S2}} = \begin{bmatrix} \vec{B}_{9/S2} \\ \vec{0} \end{bmatrix} = \begin{bmatrix} X_B & 0 \\ Y_B & 0 \\ 0 & 0 \end{bmatrix}_{R,(\vec{r}_1,\vec{r}_2,\vec{r}_3,\vec{r}_4)} = \begin{bmatrix} B\cos(-115^\circ) & 0 \\ B\sin(-115^\circ) & 0 \\ 0 & 0 \end{bmatrix}_{R,(\vec{r}_1,\vec{r}_2,\vec{r}_3,\vec{r}_4,\vec{$

Lycée Claude Fauriel Page 14 sur 16 avec:

$$B = 2 \times p \times S = 2 \times p \times \pi \left(\frac{\varphi_p^2}{4} - \frac{\varphi_t^2}{4}\right) = 2 \times 60.10^5 \times \pi \left(\frac{0.1^2}{4} - \frac{0.06^2}{4}\right)$$
$$= 60320 \text{ N} = 6032 \text{ daN}$$

• action de la bobine en j:

$$\{T_{6/S2}\} = \begin{cases} \vec{j}_{6/S2} \\ \vec{0} \end{cases} = \begin{bmatrix} X_j & 0 \\ Y_j & 0 \\ 0 & 0 \end{bmatrix}_{R_1(\vec{x}_1, \vec{y}_1, \vec{z}_1,)} = \begin{bmatrix} R\cos(60^\circ) & 0 \\ R\sin(60^\circ) & 0 \\ 0 & 0 \end{bmatrix}_{R_1(\vec{x}_1, \vec{y}_1, \vec{z}_1,)}$$

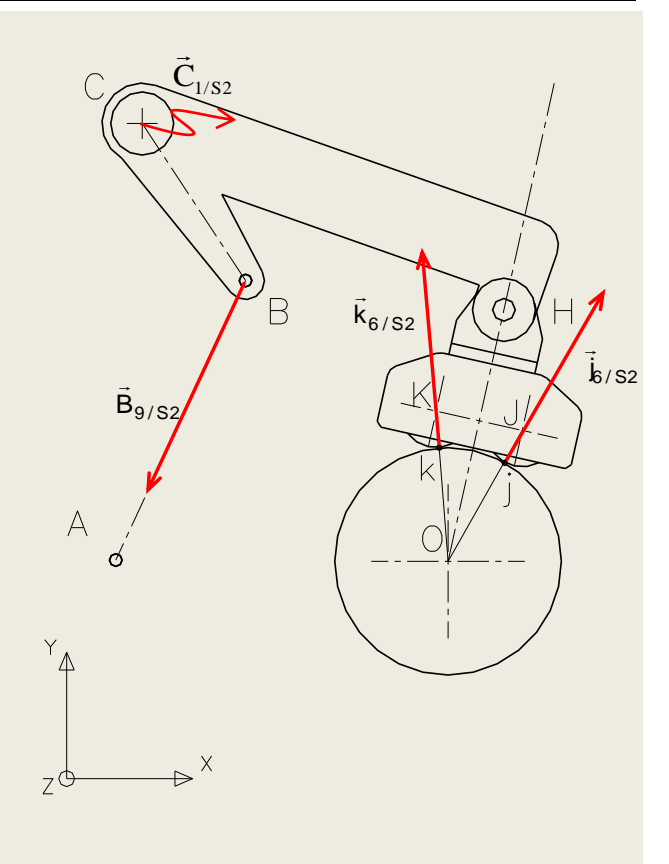
• action de la bobine en k:

$$\{T_{6/S2}\} = \begin{cases} \vec{k}_{6/S2} \\ \vec{0} \end{cases} = \begin{bmatrix} X_k & 0 \\ Y_k & 0 \\ 0 & 0 \end{bmatrix}_{R_1(\vec{x}_1, \vec{y}_1, \vec{z}_1,)} = \begin{bmatrix} R\cos(95^\circ) & 0 \\ R\sin(95^\circ) & 0 \\ 0 & 0 \end{bmatrix}_{R_1(\vec{x}_1, \vec{y}_1, \vec{z}_1,)}$$

car la normale en k est orientée à $(77,5^{\circ}+(77,5^{\circ}-60^{\circ})) = 95^{\circ}$.

• action du bâti 1 (articulation en C):

$$\{T_{1/S2}\} = \begin{cases} \vec{C}_{1/S2} \\ \vec{0} \end{cases} = \begin{bmatrix} X_C & 0 \\ Y_C & 0 \\ 0 & 0 \end{bmatrix}_{R_1(\vec{x}_1, \vec{y}_1, \vec{z}_1,)}$$



La résolution la plus simple consiste à écrire le PFS au point O, seuls $\{T_{9/S2}\}$ et $\{T_{1/S2}\}$ sont à transporter en O puisque les autres correspondent à des glisseurs passant par O, soit à calculer :

$$\vec{M}_{O(9/S2)} = \vec{OB} \land \vec{B}_{9/S2} = \begin{vmatrix} -0.805 \\ +1.11 \\ 0 \end{vmatrix} \begin{vmatrix} B.\cos(-115) \\ B.\sin(-115) \\ 0 \end{vmatrix} \begin{vmatrix} -0.805 \\ +1.11 \\ 0 \end{vmatrix} \begin{vmatrix} -2550 \\ -5467 \\ 0 \end{vmatrix} \begin{vmatrix} 0 \\ 7.23.10^{3} \text{ m.daN} \end{vmatrix}$$

$$\vec{M}_{O(1/S2)} = \vec{OC} \land \vec{C}_{1/S2} = \begin{vmatrix} -1,215 \\ +1,730 \land \\ 0 \end{vmatrix} \begin{matrix} X_C \\ Y_C \\ 0 \end{vmatrix} = \begin{vmatrix} 0 \\ 0 \\ -1,215.Y_C - 1,730.X_C \end{matrix}$$

Soit à résoudre le système:

$$\begin{cases} R.\cos(60) + R.\cos(95) - 2550 + X_C = 0 \\ R.\sin(60) + R.\sin(95) - 5467 + Y_C = 0 \\ 7.23.10^3 - 1.215.Y_C - 1.73.X_C = 0 \end{cases} \Rightarrow \begin{cases} R = 1285 \, daN \\ X_C = 2020 \, daN \\ Y_C = 3075 \, daN \end{cases}$$

Récapitulatif:

$$\left\{ T_{6/S2} \right\} = \begin{cases} \vec{j}_{6/S2} \\ \vec{0} \end{cases} = \begin{bmatrix} 642,5 & 0 \\ 1113 & 0 \\ 0 & 0 \end{bmatrix}_{R_{1}(\vec{x}_{1},\vec{y}_{1},\vec{z}_{1},)}$$

$$\{T_{9/S2}\} = \begin{cases} \vec{B}_{9/S2} \\ \vec{0} \end{cases} = \begin{bmatrix} -2550 & 0 \\ -5467 & 0 \\ 0 & 0 \end{bmatrix}_{R_{1}(\vec{x}_{1}, \vec{y}_{1}, \vec{z}_{1},)}$$

$$\left\{ T_{6/S2} \right\} = \begin{cases} \vec{k}_{6/S2} \\ \vec{0} \end{cases} = \begin{bmatrix} -112 & 0 \\ 1280 & 0 \\ 0 & 0 \end{bmatrix}_{R_1(\vec{x}_1, \vec{y}_1, \vec{z}_1,)}$$

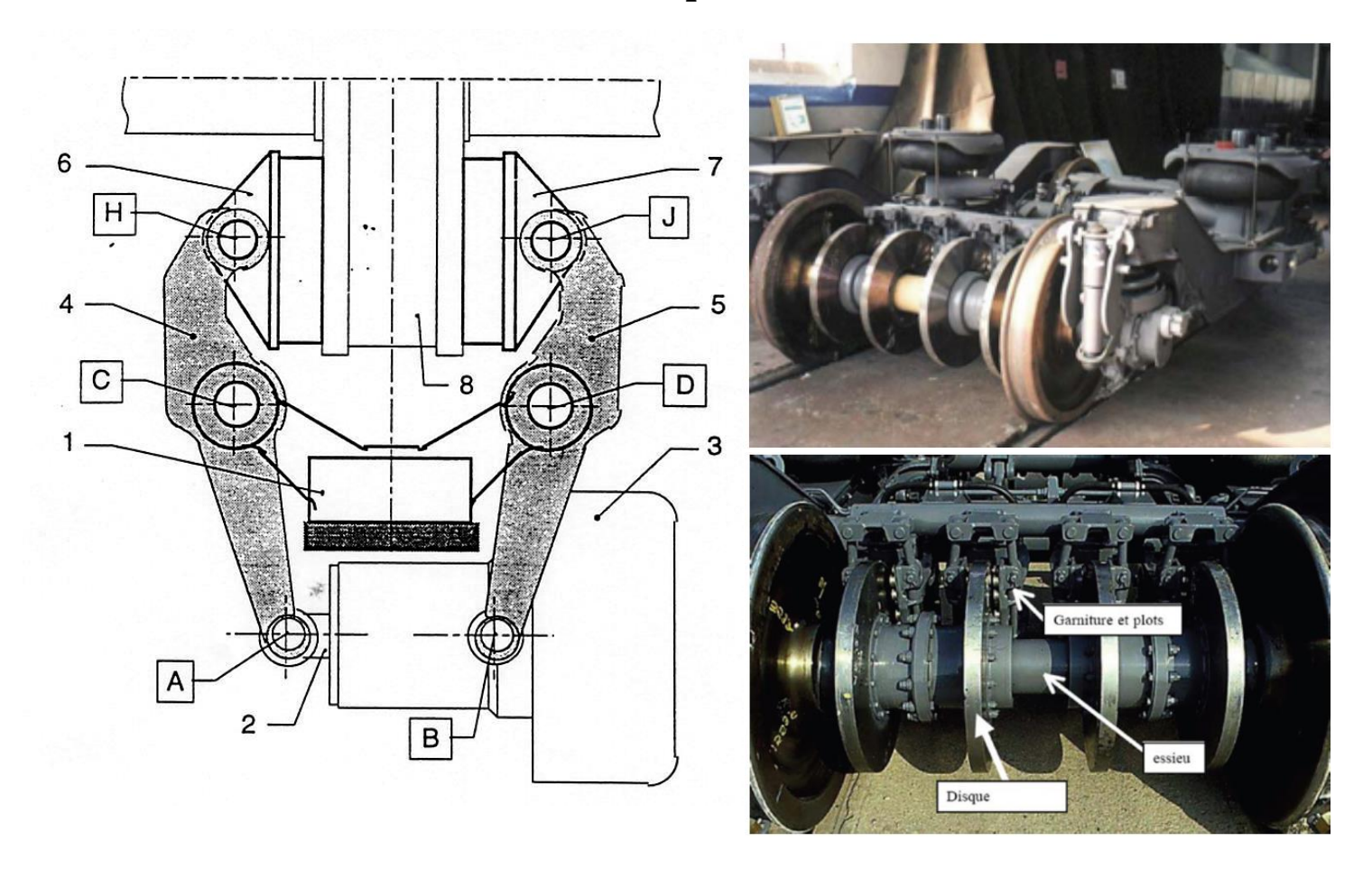
$$\left\{ T_{1/S2} \right\} = C \begin{cases} \vec{C}_{1/S2} \\ \vec{0} \end{cases} = C \begin{bmatrix} 2020 & 0 \\ 3075 & 0 \\ 0 & 0 \end{bmatrix}_{R_{1}(\vec{x}_{1}, \vec{y}_{1}, \vec{z}_{1},)}$$

Q5 : Estimer alors la pression de contact linéique p entre la bobine et chacun des rouleaux dans le cas où L=1m . Faire l'application numérique. Le cahier des charges est-il respecté ?

Cela revient à écrire: $R = p \times L$, soit ici: $p = 1285 \ daN/m$. Le CDCF est validé

Lycée Claude Fauriel Page 15 sur 16

Frein à disque de TGV



Ce frein est composé d'un vérin hydraulique flottant (2,3) agissant sur deux leviers mobiles (4) et (5) en rotation par rapport au châssis (1) et assurant l'effort presseur des plaquettes (6) et (7) sur le disque (8). La répartition de pression sur le disque est uniforme : $p(M) = p_0$ (avec p_0 constante)

Action de 6/8 y Action de 7/8 x y y

Les plaquettes de frein sont des sections circulaires d'angle 2\beta, de rayon intérieur R1 et de rayon extérieur R2:

$$\frac{\prod}{2} - \beta \le \theta \le \frac{\prod}{2} + \beta \qquad \text{et} \qquad \qquad R_1 \le r \le R_2$$

Le coefficient de frottement entre les plaquettes de frein et le disque est noté f. En faisant l'hypothèse que le système est à la limite du glissement :

- 1. Déterminer le torseur des actions mécaniques de (6) sur (8) au point O.
- 2. Déterminer (s'il existe) le point A (appelé point d'application de l'effort) tel que les actions mécaniques de (6) sur (8) soient modélisables par un glisseur.

Lycée Claude Fauriel Page 16 sur 16